

## УСТОЙЧИВОСТЬ ЭЙЛЕРОВА СТЕРЖНЯ. НЕЛИНЕЙНЫЙ АНАЛИЗ

**1. Постановка задачи.** Нелинейное уравнение Эйлера, описывающее деформируемое состояние упругого стержня переменной жесткости, шарнирно закрепленного на одном конце и находящегося под воздействием силы  $P$ , приложенной к нему с другого конца (рис. 1), имеет вид [1, 2]

$$(1.1) \quad \frac{d^2 y}{dx^2} + k^2 \rho(x) y \left[ 1 - \left( \frac{dy}{dx} \right)^2 \right]^{0,5} = F(y, k) = 0,$$

$$x_0 \leq x \leq x_1 = x_0 + \pi, \quad k^2 = \frac{Pl^2}{EI\pi^2},$$

где  $y$  — прогиб;  $E$  — модуль упругости;  $I$  — момент инерции;  $\rho(x)$  — функция, характеризующая изменение жесткости стержня по его длине;  $l$  — длина стержня;  $F(y, k) = 0$  — операторная запись уравнения Эйлера; остальные обозначения даны на рис. 1.

Уравнение (1.1) — довольно часто встречающийся пример при доказательстве теорем существования решений нелинейных дифференциальных уравнений [1—3] и качественном анализе множества физических явлений, моделируемых этими уравнениями [4, 5].

В прикладном анализе линеаризованное уравнение Эйлера используется для решения различных частных задач, отличающихся друг от друга способом закрепления стержня и характером действующих сил [6—8]. Решение нелинейного уравнения (1.1) в эллиптических функциях известно лишь для стержня с постоянным поперечным сечением ( $\rho(x) = 1$ ) [3].

В некоторых работах [6, 8] пренебрегается смещением  $\Delta$  свободного конца стержня как величиной более высокого порядка малости по сравнению с прогибом и вместо (1.1) рассматривается нелинейное уравнение

$$(1.2) \quad \frac{d^2 y}{ds^2} + k^2 \rho(s) y \left[ 1 + \left( \frac{dy}{ds} \right)^2 \right]^{1,5} = 0,$$

которое решается при допущении  $\rho(s) = 1$ .

Уравнения (1.1), (1.2) после линеаризации совпадают, но использование (1.2) вместо (1.1) в нелинейном анализе дает большие погрешности. Вместе с тем утверждение [2] об отсутствии решений уравнений (1.2) при  $k^2 > 0$  и, следовательно, физического смысла безусловно, что показано ниже.

Устойчивость решений уравнения (1.1) с граничными условиями

$$(1.3) \quad y(x_0) = y(x_1) = 0$$

исследуется методом проекций [4], в соответствии с которым определяется обладающее свойством полноты пространство собственных функций подходящего линейного оператора и вводится понятие амплитуды. Условие разрешимости (теорема Фредгольма об альтернативе) дает возможность вычислить границу, разделяющую область значений параметров задачи (1.1), (1.3) на зоны устойчивых и неустойчивых решений.

Помимо уравнения (1.1) изучена устойчивость решений уравнения нагруженного стержня, содержащего несовершенство.

Завершая постановку задачи, заметим, что если граничными условиями уравнения (1.2) будут

$$(1.4) \quad y(s_0) = y(s_1 - \Delta(y)) = 0,$$

то задачи (1.1), (1.3) и (1.2), (1.4) эквивалентны. При этом для анализа устойчивости предпочтительнее запись задачи в виде (1.1), (1.3) в силу однородности граничных условий.

**2. Анализ устойчивости.** Разложение (1.1) в ряд по степеням  $y, dy/dx$  в точке  $(y, dy/dx) = (0, 0)$  дает

$$(2.1) \quad F(y, k) = L_k y + \sum_{n=2}^{\infty} c_n y (dy/dx)^{n-1} = 0,$$

где  $L_k = d^2/dx^2 + k^2 \rho(x)$  — производящий оператор;

$$c_n = \frac{1}{n!} \frac{\partial^n}{\partial y \partial (dy/dx)^{n-1}} (k^2 \rho(x) y (1 - (dy/dx)^2)^{0.5}).$$

Спектр оператора  $L_k$  состоит из собственных значений  $\lambda^2$ , удовлетворяющих краевой задаче

$$(2.2) \quad L_k y = 0, \quad y(x_0) = y(x_1) = 0.$$

В общем случае, если  $\rho(x)$  не имеет специального вида, решение задачи о собственных значениях (2.2) возможно лишь приближенными методами [9]. При этом вопрос о сходимости того или иного метода остается открытым и зависит от удачного выбора некоторого базового уравнения. Без всяких претензий на общность или полноту анализа, а исходя из того, что  $k^2$  всегда можно выбрать так (взять момент инерции максимального поперечного сечения стержня), чтобы  $0 < \rho(x) \leq 1$  на  $x_0 \leq x \leq x_1$ , в качестве базового возьмем уравнение

$$(2.3) \quad \frac{d^2 y}{dx^2} + \lambda^2 y = 0, \quad y(x_0) = y(x_1) = 0.$$

Тогда, воспользовавшись фундаментальной системой решений задачи (2.3), состоящей из функций  $\sin \lambda x, \cos \lambda x$ , и имея в виду первое краевое условие, удобно записать (2.2) как эквивалентное интегральное уравнение

$$(2.4) \quad \begin{aligned} \varphi(x) &= \sin \lambda(x - x_0) - \lambda A \varphi(x), \\ A \varphi(x) &= \int_{x_0}^x \sin \lambda(x - \xi) (\rho(\xi) - 1) \varphi(\xi) d\xi. \end{aligned}$$

Собственные значения  $\lambda_1^2, \lambda_2^2, \dots$  и соответствующие им собственные функции  $\varphi_1(x), \varphi_2(x), \dots$  уравнения (2.4) будут также собственными значениями и функциями уравнения (2.2). Существенно отметить, что нуль не является собственным значением, а ненулевые собственные значения простые. (При некоторых специальных функциях  $\rho(x)$  задача (2.2) имеет точное решение, а собственные значения оператора  $L_k$  двукратны. Этот случай здесь не рассматривается.)

Решение (2.4) проводится методом последовательных приближений

$$(2.5) \quad \varphi^{(n)}(x) = \sin \lambda(x - x_0) - \lambda A \varphi^{(n-1)}(x),$$

причем на каждом шаге собственное значение  $\lambda^2$  определяется из уравнения, полученного с учетом второго краевого условия,

$$(2.6) \quad \sin \lambda \pi - A \varphi^{(n)}(x_1) = 0.$$

В качестве нулевого приближения можно взять  $\varphi^{(0)}(x) = 0, 1$  или любую другую функцию, удовлетворяющую краевым условиям (1.3). Принцип равномерной ограниченности [1, 2] гарантирует сходимость последовательности  $\varphi^{(n)}(x)$ , а в силу  $0 < \rho(x) \leq 1$  представляется очевид-

ным, что скорость сходимости будет характеризоваться разностью  $|\rho_1 - 1|$ , где  $\rho_1$  — минимальное значение, принимаемое функцией  $\rho(x)$  на интервале  $(x_0, x_1)$ . Действительно, поскольку

$$\sup_{\substack{x_0 \leq x \leq x_1 \\ x_0 \leq \xi \leq x_1}} |\sin \lambda(x - \xi)(\rho(\xi) - 1)| = |\rho_1 - 1|,$$

$$\sup_{x_0 \leq x \leq x_1} |\sin \lambda(x - x_0)| = 1,$$

справедлива оценка [10]

$$|\varphi^{(n+1)}(x) - \varphi^{(n)}(x)| \leq |\lambda|^n |\rho_1 - 1| \frac{(x - x_0)^n}{n!}.$$

Наконец, если интегральное уравнение (2.4) не имеет точного решения, скорее всего, так оно и есть, то удобно представить  $\rho(x)$  в виде разложения по собственным функциям уравнения (2.3):

$$\rho(x) = \sum_{k=1}^{\infty} b_k \sin kx, \quad b_k = \frac{2}{\pi} \int_{x_0}^{x_1} \rho(x) \sin kx dx.$$

Покончив с определением собственных функций и собственных значений оператора  $L_k$ , заметим, что минимальное положительное собственное значение  $\lambda_1^2$  позволяет записать условие устойчивости решения (2.2) как

$$(2.7) \quad \mu = k^2 - \lambda_1^2 \leq 0.$$

Знак равенства в (2.7) определяет критическое значение  $k_*^2$ , полученное в линейном приближении. При  $\rho(x) = 1$  результат  $\mu = k_*^2 - 1 = 0$  известен [6 — 8].

Вернувшись к функциям  $\varphi_i(x)$ ,  $i = 1, 2, \dots$ , легко установить, что они интегрируемы на интервале  $(x_0, x_1)$  с квадратом и ортогональны между собой с весом  $\rho(x)$ . Пространство этих функций является полным со скалярным произведением векторов  $\varphi_i(x)$ ,  $\varphi_j(x)$ , равным  $\langle \varphi_i(x), \varphi_j^*(x) \rangle$  (все признаки гильбертова пространства), так что любые решения (2.1) могут быть представлены в виде разложения по  $\varphi_1(x)$ ,  $\varphi_2(x)$ ,  $\dots$ .

Появившаяся выше функция  $\varphi_j^*(x)$  сопряжена с функцией  $\varphi_j(x)$  относительно скалярного произведения и с точностью до постоянного множителя  $M$  равна  $\varphi_j^*(x) = M\rho(x)\varphi_j(x)$ .

Теперь, определив амплитуду как проекцию  $y(x)$  на собственное подпространство, ассоциированное с сопряженным вектором  $\varphi_1^*(x)$ ,  $\varepsilon = \langle y(x), \varphi_1^*(x) \rangle$ , будем искать решение (2.1) в виде рядов

$$(2.8) \quad \begin{cases} y \\ \mu \end{cases} = \sum_{n=1}^{\infty} \frac{\varepsilon^n}{n!} \begin{cases} y_n \\ \mu_n \end{cases}.$$

Прежде чем приступить к определению  $y_n$ ,  $\mu_n$ ,  $n = 1, 2, \dots$ , выразим в (2.1), используя (2.7) при знаке равенства,  $k^2$  через  $\mu$ ,  $\lambda_1^2$  таким образом, что оператор

$$L_\mu = d^2/dx^2 + (\mu + \lambda_1^2)\rho(x).$$

Тогда подстановка (2.8) в (2.1) и отождествление членов при одинаковых степенях  $\varepsilon$  до третьей степени включительно приводят к системе

$$(2.9) \quad L_0 y_1 = 0;$$

$$(2.10) \quad L_0 y_2 + 2\mu_1 \frac{\partial L_0}{\partial \mu} y_1 + 2\mathbf{B}(y_1, y_1) = 0;$$

$$(2.11) \quad L_0 y_3 + 3\mu_1 \frac{\partial L_0}{\partial \mu} y_2 + 6\mathbf{B}(y_1, y_2) + 3\mu_2 \frac{\partial L_0}{\partial \mu} y_1 + 6\mathbf{C}(y_1, y_1, y_1) = 0,$$

где

$$\mathbf{B}(y_1, y_2) = \frac{c_2 \lambda_1^2}{2} \left( y_1 \frac{dy_2}{dx} + y_2 \frac{dy_1}{dx} \right);$$

$$\mathbf{C}(y_1, y_2, y_3) = \frac{c_3 \lambda_1^2}{3} \left( y_1 \frac{dy_2}{dx} \frac{dy_3}{dx} + y_2 \frac{dy_1}{dx} \frac{dy_3}{dx} + y_3 \frac{dy_1}{dx} \frac{dy_2}{dx} \right).$$

Из (2.9) непосредственно следует  $y_1 = \varphi_1(x)$ . Для решения (2.10), (2.11) используется теорема Фредгольма об альтернативе, в соответствии с которой данные уравнения разрешимы, если

$$\langle L_0 y_2, \varphi_1^*(x) \rangle = \langle L_0 y_3, \varphi_1^*(x) \rangle = 0$$

и, значит,

$$\mu_1 \left\langle \frac{\partial L_0}{\partial \mu} y_1, \varphi_1^*(x) \right\rangle + \langle \mathbf{B}(y_1, y_1), \varphi_1^*(x) \rangle = 0,$$

$$\mu_1 \left\langle \frac{\partial L_0}{\partial \mu} y_2, \varphi_1^*(x) \right\rangle + 2 \langle \mathbf{B}(y_1, y_2), \varphi_1^*(x) \rangle +$$

$$+ \mu_2 \left\langle \frac{\partial L_0}{\partial \mu} y_1, \varphi_1^*(x) \right\rangle + 2 \langle \mathbf{C}(y_1, y_1, y_1), \varphi_1^*(x) \rangle = 0,$$

откуда, учитывая, что  $c_2 = 0$ ,  $c_3 = -0,5$ , легко получить  $\mu_1 = 0$ ,  $y_2 = 0$ ,

$$\mu_2 = \frac{\lambda_1^2 \langle \rho(x) y_1 (dy_1/dx)^2, \varphi_1^*(x) \rangle}{\langle \rho(x) y_1, \varphi_1^*(x) \rangle}.$$

Таким образом, в плоскости  $(\mu, \varepsilon)$  граница устойчивости определяется уравнением

$$(2.12) \quad \mu = 0,5 \mu_2 \varepsilon^2.$$

Для того чтобы решение (2.12) было единственным, необходимо найти условие нормировки. С этой целью подставим (2.8) в выражение для амплитуды  $\varepsilon = \langle y, \varphi_1^*(x) \rangle$  и продифференцируем последнее по  $\varepsilon$ . В результате имеем уравнение

$$\left\langle \sum_{k=1}^{\infty} \frac{1}{(k-1)!} y_k \varepsilon^{k-1}, \varphi_1^*(x) \right\rangle = 1,$$

которое с учетом  $\langle y_k, \varphi_1^*(x) \rangle = 0$  при  $k \neq 1$  дает условие нормировки  $\langle y_1, \varphi_1^*(x) \rangle = 1$ . Данное условие равносильно  $\varepsilon = 1$ ,  $M = \langle \varphi_1(x), \rho(x) \varphi_1(x) \rangle^{-1}$  и дает возможность определить критическое значение  $k_*^2$ , при котором решение (2.1) теряет устойчивость:

$$(2.13) \quad k_*^2 = \lambda_1^2 + 0,5 \mu_2.$$

Поскольку  $\mu_2 > 0$  при любой функции  $\rho(x)$ , критическая нагрузка  $P_* = P(k_*^2)$  при нелинейном анализе выше, чем полученная в линейном приближении.

Возвращаясь к (1.2), заметим, что у данного уравнения нет решения при  $k^2 > 0$ , если  $\lambda_1^2 < 1,5 \mu_2$ .

В качестве примера рассмотрим стержень с параболическим изменением поперечного сечения

$$\rho(x) = \pi^2 (\pi^2 + ax(\pi - x))^{-1}, \quad 0 \leq x \leq \pi,$$

где  $a$  — постоянная. Как и следовало ожидать, интегральное уравнение (2.4) не имеет точного решения, поэтому представим  $\rho(x)$  в виде ряда, сгруппировав первые два членами:

$$\rho(x) = b_1 \sin x + b_2 \sin 2x.$$

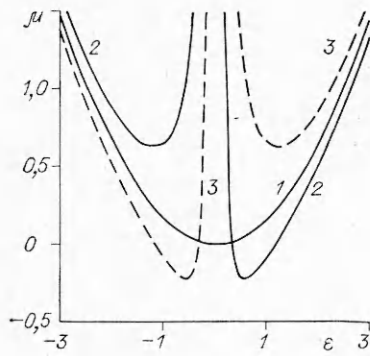


Рис. 2

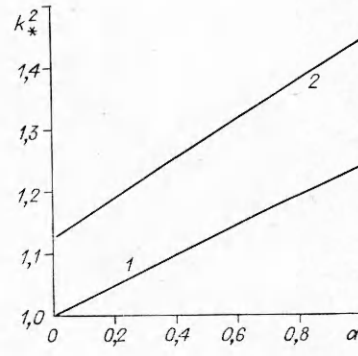


Рис. 3

Подставив данное выражение в (2.5) и приняв  $\varphi^{(0)}(x) = 1$ , находим первое приближение для собственной функции, на котором остановимся:

$$(2.14) \quad \varphi_1(x) = \varphi_1^{(1)}(x) = \sin \lambda_1 x + \lambda_1 \left[ \frac{b_1}{1 - \lambda_1^2} (\lambda_1 \sin x - \sin \lambda_1 x) + \frac{2b_2}{4 - \lambda_1^2} (\lambda_1 \sin 2x - \sin \lambda_1 x) \right].$$

Подстановка (2.14) в (2.6) приводит к уравнению для  $\lambda_1$ :

$$(2.15) \quad 1 + \lambda_1 \left[ \frac{b_1}{\lambda_1^2 - 1} + \frac{2b_2}{\lambda_1^2 - 4} \right] = 0.$$

Результаты расчетов границы устойчивости в плоскости  $(\mu, \epsilon)$ , проведенные по формуле (2.12) с использованием (2.14), (2.15) при  $a = 0,5$ , приведены на рис. 2 (кривая 1), на рис. 3 представлены зависимости  $k_*^2 = k_*^2(a)$ , рассчитанные по формулам (2.7), (2.13) (кривые 1, 2 соответственно). При  $a = 0$  расчеты по формуле (2.7) дают  $k_*^2 = 1$ , а по формуле (2.13)  $k_*^2 = 1,125$ . Для сравнения укажем, что для уравнения (1.2) формула (2.13) при  $a = 0$  дает  $k_*^2 = 0,625$ .

**3. Несовершенства.** Пусть стержень содержит несовершенства такие, что математическая запись задачи имеет вид

$$(3.1) \quad \frac{d^2 y}{dx^2} + k^2 \left[ \rho(x) y (1 - (dy/dx)^2)^{0,5} + \omega \sum_{n=0}^{\infty} \psi_n(x) y^n \right] \equiv F(y, \mu, \omega) = 0,$$

$$k^2 = \mu + \lambda_1^2, \quad x_0 \leq x \leq x_1 = x_0 + \pi, \quad y(x_0) = y(x_1) = 0,$$

где  $\omega$  — постоянная;  $\psi_n(x)$  ( $n = 0, 2, \dots$ ) — функции, среди которых, по крайней мере,  $\psi_0(x)$  не равна тождественно нулю.

Смысл уравнения (3.1) состоит в том, что при нулевой нагрузке  $k^2 \rightarrow 0$ ,  $\omega \sim 1/k^2$  ось стержня не является идеальной прямой, а определяется уравнением

$$\frac{d^2 y}{dx^2} + k^2 \omega \sum_{n=0}^{\infty} \psi_n(x) y^n = 0.$$

Как видно из п. 2, решение уравнения  $F(y, \mu, 0) = 0$  строго теряет устойчивость при переходе  $\mu$  из области отрицательных в область положительных значений. Из этого следует [4, 11], что точка  $(y, \mu) = (0, 0)$  — двойная особая точка, в которой происходит ветвление решений. Наличие несовершенств  $\omega \neq 0$ , разрушающих бифуркацию в точке  $(y, \mu) = (0, 0)$ , приводит к изолированным решениям уравнения  $F(y, \mu, \omega) = 0$ , которым точка  $(y, \mu) = (0, 0)$  не принадлежит.

Условие  $\langle \partial F(0, 0, 0)/\partial \omega, \varphi_1^*(x) \rangle \neq 0$  (в дальнейшем для упрощения записи принято  $F(0, 0, 0) = F$ ) и теорема о неявной функции гарантируют существование решения уравнения

$$(3.2) \quad F(y(\mu, \varepsilon), \mu, z(\mu, \varepsilon)) = 0$$

относительно формально введенной функции  $z(\mu, \varepsilon) = \omega$ .

Данное решение будет разыскиваться в виде ряда по степеням  $\mu, \varepsilon$  в точке  $(\mu, \varepsilon) = (0, 0)$ . Снова, упрощая запись обозначением  $z = z(0, 0)$ , положим

$$(3.3) \quad z(\mu, \varepsilon) = z + \frac{\partial z}{\partial \varepsilon} \varepsilon + \frac{\partial z}{\partial \mu} \mu + \frac{1}{2} \left( \frac{\partial^2 z}{\partial \varepsilon^2} \varepsilon^2 + 2 \frac{\partial^2 z}{\partial \mu \partial \varepsilon} \mu \varepsilon + \frac{\partial^2 z}{\partial \mu^2} \mu^2 \right) + \\ + \frac{1}{3!} \left( \frac{\partial^3 z}{\partial \varepsilon^3} \varepsilon^3 + 3 \frac{\partial^3 z}{\partial \mu \partial \varepsilon^2} \mu \varepsilon^2 + 3 \frac{\partial^3 z}{\partial \mu^2 \partial \varepsilon} \mu^2 \varepsilon + \frac{\partial^3 z}{\partial \mu^3} \mu^3 \right) + \dots$$

С целью определения коэффициентов в разложении (3.3) для начала воспользуемся свойствами двойной точки

$$F = 0, \quad \frac{\partial F}{\partial \varepsilon} - \frac{\partial F}{\partial y} \left( \frac{\partial y}{\partial \varepsilon} \right) - \frac{\partial F}{\partial z} \frac{\partial z}{\partial \varepsilon} = 0, \\ \frac{\partial F}{\partial \mu} - \frac{\partial F}{\partial y} \left( \frac{\partial y}{\partial \mu} \right) + \frac{\partial F}{\partial z} \frac{\partial z}{\partial \mu} = 0.$$

Первое соотношение с учетом (2.8) дает  $z = 0$ , а из условий разрешимости двух оставшихся

$$\left\langle \frac{\partial F}{\partial z} \frac{\partial z}{\partial \varepsilon}, \varphi_1^*(x) \right\rangle = \left\langle \frac{\partial F}{\partial z} \frac{\partial z}{\partial \mu}, \varphi_1^*(x) \right\rangle = 0$$

и неравенства  $\partial F/\partial z \neq 0$  следует  $\partial z/\partial \mu = \partial z/\partial \varepsilon = 0$ .

Вторые производные от (3.2) приводят к системе

$$\frac{\partial F}{\partial y} \left( \frac{\partial^2 y}{\partial \varepsilon^2} \right) + \frac{\partial^2 F}{\partial y^2} \left( \frac{\partial y}{\partial \varepsilon}, \frac{\partial y}{\partial \varepsilon} \right) + \frac{\partial F}{\partial \omega} \frac{\partial^2 z}{\partial \varepsilon^2} = 0, \\ \frac{\partial F}{\partial y} \left( \frac{\partial^2 y}{\partial \mu \partial \varepsilon} \right) + \frac{\partial^2 F}{\partial \mu \partial y} \left( \frac{\partial y}{\partial \varepsilon} \right) + \frac{\partial F}{\partial \omega} \frac{\partial^2 z}{\partial \mu \partial \varepsilon} = 0, \\ \frac{\partial F}{\partial y} \left( \frac{\partial^2 y}{\partial \mu^2} \right) + \frac{\partial^2 F}{\partial \mu^2} + \frac{\partial F}{\partial \omega} \frac{\partial^2 z}{\partial \mu^2} = 0,$$

условия разрешимости которой

$$\left\langle \frac{\partial F}{\partial y} \left( \frac{\partial^2 y}{\partial \varepsilon^2} \right), \varphi_1^*(x) \right\rangle = \left\langle \frac{\partial F}{\partial y} \left( \frac{\partial^2 y}{\partial \mu \partial \varepsilon} \right), \varphi_1^*(x) \right\rangle = \\ = \left\langle \frac{\partial F}{\partial y} \left( \frac{\partial^2 y}{\partial \mu^2} \right), \varphi_1^*(x) \right\rangle = 0$$

с учетом  $c_2 = 0$ ,  $\partial^2 F/\partial \mu^2 = 0$  дают

$$(3.4) \quad \frac{\partial^2 z}{\partial \varepsilon^2} = 0, \quad \frac{\partial^2 y}{\partial \varepsilon^2} = 0, \quad \frac{\partial^2 y}{\partial \mu^2} = 0, \quad \frac{\partial^2 z}{\partial \mu^2} = 0, \\ \frac{\partial^2 z}{\partial \mu \partial \varepsilon} = - \left\langle \frac{\partial^2 F}{\partial y \partial \mu} \left( \frac{\partial y}{\partial \varepsilon} \right), \varphi_1^*(x) \right\rangle \left\langle \frac{\partial F}{\partial \omega}, \varphi_1^*(x) \right\rangle^{-1}.$$

Наконец, третьи производные от (3.2), в которых опущены члены, содержащие нулевые множители, показывают, что система уравнений

$$\frac{\partial F}{\partial y} \left( \frac{\partial^3 y}{\partial \varepsilon^3} \right) + \frac{\partial F}{\partial \omega} \frac{\partial^3 z}{\partial \varepsilon^3} + \frac{\partial^3 F}{\partial y^3} \left( \frac{\partial y}{\partial \varepsilon}, \frac{\partial y}{\partial \varepsilon}, \frac{\partial y}{\partial \varepsilon} \right) = 0, \\ \frac{\partial F}{\partial y} \left( \frac{\partial^3 y}{\partial \mu \partial \varepsilon^2} \right) + \frac{\partial F}{\partial \omega} \frac{\partial^3 z}{\partial \mu \partial \varepsilon^2} + 2 \frac{\partial^2 F}{\partial \omega \partial y} \left( \frac{\partial y}{\partial \varepsilon} \right) \frac{\partial^2 z}{\partial \mu \partial \varepsilon} = 0,$$

$$\frac{\partial F}{\partial y} \left( \frac{\partial^3 \mathbf{y}}{\partial \mu^2 \partial \varepsilon} \right) + \frac{\partial F}{\partial \omega} \frac{\partial^3 z}{\partial \mu^2 \partial \varepsilon} + 2 \frac{\partial^2 F}{\partial \mu \partial y} \left( \frac{\partial^2 \mathbf{y}}{\partial \mu \partial \varepsilon} \right) + 2 \frac{\partial^2 F}{\partial \mu \partial \omega} \frac{\partial^2 z}{\partial \mu \partial \varepsilon} = 0,$$

$$\frac{\partial F}{\partial y} \left( \frac{\partial^3 \mathbf{y}}{\partial \mu^3} \right) + \frac{\partial F}{\partial \omega} \frac{\partial^3 z}{\partial \mu^3} = 0$$

разрешима, если

$$(3.5) \quad \frac{\partial^3 z}{\partial \varepsilon^3} = - \left\langle \frac{\partial^2 F}{\partial y^3} \left( \frac{\partial \mathbf{y}}{\partial \varepsilon}, \frac{\partial \mathbf{y}}{\partial \varepsilon}, \frac{\partial \mathbf{y}}{\partial \varepsilon} \right), \Phi_1^*(x) \right\rangle \left\langle \frac{\partial F}{\partial \omega}, \Phi_1^*(x) \right\rangle^{-1},$$

$$\frac{\partial^3 z}{\partial \mu \partial \varepsilon^2} = - 2 \left\langle \frac{\partial^2 F}{\partial \omega \partial y} \left( \frac{\partial \mathbf{y}}{\partial \varepsilon} \right) \frac{\partial^2 z}{\partial \mu \partial \varepsilon}, \Phi_1^*(x) \right\rangle \left\langle \frac{\partial F}{\partial \omega}, \Phi_1^*(x) \right\rangle^{-1},$$

$$\frac{\partial^3 z}{\partial \mu^2 \partial \varepsilon} = - 2 \left\langle \frac{\partial^2 F}{\partial \mu \partial \omega} \frac{\partial^2 z}{\partial \mu \partial \varepsilon}, \Phi_1^*(x) \right\rangle \left\langle \frac{\partial F}{\partial \omega}, \Phi_1^*(x) \right\rangle^{-1}, \quad \frac{\partial^3 z}{\partial \mu^3} = 0.$$

Производные  $\partial^n F / \partial y^i$  ( $i \leq n$ ) в приведенных выше выражениях следует воспринимать как матричные дифференциальные операторы (производные Фреше), так что производные, входящие в систему уравнений (3.5), запишем как

$$\frac{\partial^3 F}{\partial \mu^3} \left( \frac{\partial \mathbf{y}}{\partial \varepsilon}, \frac{\partial \mathbf{y}}{\partial \varepsilon}, \frac{\partial \mathbf{y}}{\partial \varepsilon} \right) = \mathbf{C}(y_1, y_1, y_1),$$

$$\frac{\partial^2 F}{\partial \omega \partial y} \left( \frac{\partial \mathbf{y}}{\partial \varepsilon} \right) = \lambda_1^2 \psi_1(x) y_1, \quad \frac{\partial^2 F}{\partial y \partial \mu} \left( \frac{\partial \mathbf{y}}{\partial \varepsilon} \right) = \rho(x) y_1.$$

После подстановки выражений для коэффициентов (3.4), (3.5) в уравнение (3.3) последнее принимает вид

$$(3.6) \quad \omega \langle \psi_0(x), \Phi_1^*(x) \rangle = - \lambda_1^{-2} \langle \rho(x) y_1, \Phi_1^*(x) \rangle \mu \varepsilon +$$

$$+ 0,5 \langle \rho(x) y_1 (dy_1/dx)^2, \Phi_1^*(x) \rangle \varepsilon^3 - \lambda_1^2 \langle \psi_1(x) y_1, \Phi_1^*(x) \rangle \langle \rho(x) y_1, \Phi_1^*(x) \rangle \times$$

$$\times \langle \psi_0(x), \Phi_1^*(x) \rangle^{-1} \mu \varepsilon^2 + \lambda_1^{-4} \langle \rho(x) y_1, \Phi_1^*(x) \rangle \mu^2 \varepsilon.$$

Решая (3.6) методом последовательных приближений, находим связь между параметрами  $\mu = \mu(\varepsilon, \omega/\varepsilon)$ :

$$(3.7) \quad \mu = \lambda_1^2 \left[ \frac{\langle \rho(x) y_1 (dy_1/dx)^2, \Phi_1^*(x) \rangle}{2 \langle \rho(x) y_1, \Phi_1^*(x) \rangle} \varepsilon^2 - \frac{\langle \psi_0(x), \Phi_1^*(x) \rangle}{\langle \rho(x) y_1, \Phi_1^*(x) \rangle} \frac{\omega}{\varepsilon} - \right.$$

$$\left. - \frac{\langle \psi_1(x) y_1, \Phi_1^*(x) \rangle}{\langle \rho(x) y_1, \Phi_1^*(x) \rangle} \frac{\omega}{\varepsilon} \varepsilon + \frac{\langle \psi_0(x), \Phi_1^*(x) \rangle^2}{\langle \rho(x) y_1, \Phi_1^*(x) \rangle^2} \left( \frac{\omega}{\varepsilon} \right)^2 \right] + O \left( |\varepsilon| + \left| \frac{\omega}{\varepsilon} \right| \right)^3.$$

При отсутствии несовершенства ( $\omega = 0$ ) уравнения (3.7) и (2.12) совпадают. Подстановка в (3.7) выражения для  $\mu$  (2.7) и использование

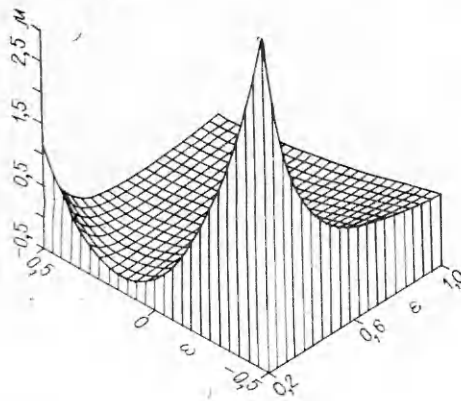


Рис. 4.

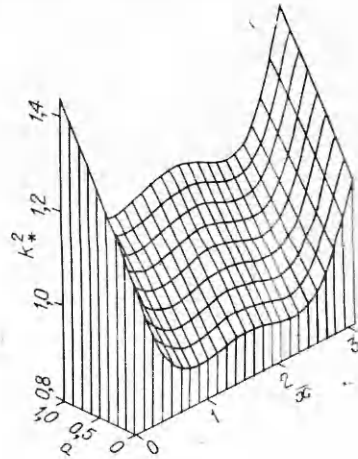


Рис. 5.

условия нормировки  $\varepsilon = 1$  дают зависимость для критического значения  $k_*^2$  стержня, содержащего несовершенство.

Теперь предположим, что стержень, рассмотренный в качестве примера в п. 2, содержит в точке  $x = \bar{x}$  дефект, не зависящий от прогиба, и пусть  $\psi_0(x) = \delta(x - \bar{x})$  — дельта-функция,  $\psi_i(x) = 0$ ,  $i > 0$ .

После подстановки выражения для  $\psi_0(x)$  в (3.7) и проведения расчетов при  $\bar{x} = 1,5$ ,  $a = 0,5$  найдены зависимости  $\mu = \mu(\varepsilon, \omega/\varepsilon)$ , изображенные на рис. 4, и  $\mu = \mu(\varepsilon; 0,5/\varepsilon)$ ,  $\mu = \mu(\varepsilon; -0,5/\varepsilon)$ , приведенные на рис. 2 (кривые 2, 3 соответственно).

На рис. 5 представлены результаты расчета критического значения  $k_*^2 = k_*^2(\bar{x}, a)$  по формуле (3.7) при  $\omega = 1$ . При  $\bar{x} = 0$ ,  $\bar{x} = \pi$  расчеты по формулам (2.13), (3.7) совпадают.

В заключение следует отметить, что при рассмотрении теории устойчивости эйлерова стержня как раздела прочностных расчетов в машиностроении, особенно в случаях конструкций из тонкостенных стержней, для которых предельные нагрузки лимитируются из соображений устойчивости, результаты нелинейного анализа не лишены практической ценности.

#### ЛИТЕРАТУРА

1. Хатсон В., Пим Дж. Приложения функционального анализа и теории операторов.— М.: Мир, 1983.
2. Функциональный анализ (сер. Справ. мат. б-ка)/Под ред. С. Г. Крейна.— М.: Наука, 1972.
3. Теория ветвления и нелинейные задачи на собственные значения/Под ред. Дж. Б. Келлера и С. Антмана.— М.: Мир, 1974.
4. Йосс Ж., Джозеф Д. Элементарная теория устойчивости и бифуркаций.— М.: Мир, 1983.
5. Гилмор Р. Прикладная теория катастроф.— М.: Мир, 1984.— Т. 1.
6. Вольмир А. С. Устойчивость деформируемых систем.— М.: Наука, 1967.
7. Алфутов Н. А. Основы расчета на устойчивость упругих систем (сер. Б-ка расчетчика).— М.: Машиностроение, 1978.
8. Вольмир А. С. Устойчивость упругих систем.— М.: Физматгиз, 1963.
9. Камке Э. Справочник по обыкновенным дифференциальным уравнениям.— М.: Физматгиз, 1961.
10. Демидович Б. П., Марон М. А., Шувалова Э. З. Численные методы анализа.— М.: Физматгиз, 1963.
11. Марсден Дж., Мак-Кракен М. Бифуркация рождения цикла и ее приложение.— М.: Мир, 1980.

а. Бийск

Поступила 25/XI 1991 г.,  
в окончательном варианте — 8/IV 1992 г.

УДК 539.3

Т. А. Боднарь

#### ОБ УСТОЙЧИВОСТИ ЭЙЛЕРОВА СТЕРЖНЯ

1. В [1] изучена устойчивость решений нелинейного уравнения Эйлера

$$(1.1) \quad \frac{d^2 y}{dx^2} + k^2 \rho(x) y \left( 1 - \left( \frac{dy}{dx} \right)^{2\nu} \right) = 0, \quad k^2 = \frac{Pl^2}{EI\pi^2}$$

при условии, что собственные значения уравнения

$$(1.2) \quad \frac{d^2 y}{dx^2} + k^2 \rho(x) y = 0$$

простые; тем самым из анализа выпал целый класс задач, для которых собственные значения уравнения (1.2) двукратны.

Продолжая анализ, проведенный в [1], рассмотрим уравнение (1.1) при  $\rho(x) = x^\nu$ ,  $-\infty < \nu < \infty$  и граничных условиях

$$(1.3) \quad y(x_1) = 0, \quad dy(x_0)/dx = 0,$$